

مجلة جامعة تبريز للدراسات والبحوث العلمية
المجلد ٥ - العدد ١ من ٧٧ إلى ٩٤

جادى الاولى ١٤٠١ هـ
آذار ١٩٨٢ م

الغازات النادرة المشعة
«وسيلة هامة في مختبرات الابحاث»

الدكتور يحيى سليمان
كلية العلوم

Vladimír Balek
INTERNATIONAL LABORATORY
SEPTEMBER / OCTOBER 1978



الغازات النادرة المشعة وسيلة كشف هامة في مختبرات الابحاث

تستعمل في اكتفاء الآثار الذرات المشعة السهلة الكشف ، وبتركيز بسيط ، كدليل على سلوك العناصر الكيميائية المشابهة الخواص مع تلك الذرات ، كما يمكن استخدامها لاهداف علمية أخرى .

إذا دخل في تركيب مادة غاز نادر مشع ، فإنه يمكن استخدام هذا المركب كوسيل مقارن للمركبات في الحالات الغازية أو السائلة أو للتحليل الحراري المميز في الحالة الصلبة ، ودراسة التركيب الجزيئي والسطحى للجسم الصلب ، وتشوهه بسبب العمر نتيجة التحولات الكيميائية فيه . هذا بالإضافة إلى تتبع سير تلك التفاعلات (أو التحولات) بواسطة معرفة كمية الغاز المشع المتحرر من ذلك المركب .

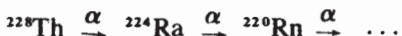
ويتحرر الغاز النادر المشع الداخل في تركيب صلب باحدى الطرق الكيميائية أو الفيزيائية أو الميكانيكية التي تشهو تركيب الشعيرات البلورية أو سطح الصلب فقط . وهذه هي الميزة الأساسية لتكوين عملية التحليل الانبعاثي الحراري (ETA = Emanation Thermal Analysis) ، والتي تعتمد على قياس مقدار تحرر ذرات الغاز النادر المشع من المركبات الصلبة المخاوية عليه . وبدأت تظهر أهمية هذه الطريقة في المختبرات العلمية الصناعية وبنجاح في دراسة التفاعلات الكيميائية بين المواد الصلبة والسائلة والغازية ، نظراً لقدرتها على اظهار تحولات تركيب البنية البلورية وطبيعة نشاط الجسم الصلب . ولهذا أصبحت الغازات النادرة المشعة عامل كشف عالمي لتغير حالة الجسم الصلب . والمهدف من هذا الموضوع هو إعلام القارئ على مدى امكانية تطبيق الغازات النادرة المشعة ومساهمتها في استخدام طريقة (ETA) .

تصنيف الاجسام الصلبة :

في أغلب الحالات ، قد لا تحتوي الاجسام الصلبة المستخدمة بطريقة ETA غازاً

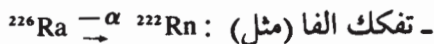
نادراً ، لذا كان من الضروري تصنيفها مع غاز نادر للتمكن من إجراء عملية القياس المستمر لانطلاق الغاز من العينات .

ويمكن مزج غازات نادرة مع الأجسام الصلبة بعدة طرق^(١) . فتقنية الانبعاث الكلاسيكية تستعمل الغازات المشعة طبيعياً (كابناث الرادون المشع مثلاً) خلال تحضير الجسم الصلب بالترسيب المشترك مع المواد المراد البحث عنها (مثلاً ^{238}U / ^{235}U من تلك المادة) . ويعتبر عنصر ^{224}Ra (و ^{228}Th) الغاز المشع المصدر الأصل (الأهل) في المزيج . وعند تذرع مزج المصدر المشع مع الجسم الصلب خلال فترة تحضيره ، تتفق الكمية المراد قياسها مع محلول الحاوي على نوبيات عنصر ^{228}Th (و ^{224}Ra) . ويتشكل الغاز النادر المشع في المادة نتيجة اضمحلال النشاط الاشعاعي التالي الذي يعطي عنصراً نهائياً لا يتفاعل مع المادة :



كما تعتمد بعض الطرق الأخرى المستخدمة في تصنيف العينات على دمج الغاز مباشرة في العينة دونها حاجة إلى المصدر المشع الأهل ، وتستعمل لهذا الطرق التكنيكية التالية :

١ - طاقة الارتداد (Recoil Energy) للتفاعلات النووية :



حيث تفيد طاقة ذرات الغاز الناتج عن التفكك في مزجها مع المادة ، حيث غالباً ما يتميز النظير (الأهل) على سطح العينة . وفي تفاعلات النيوترون المشط (α) ، (n, p) ، (n, γ) وانشطار النيوترون ، تشيع المواد الصلبة بتلك النيوترونات في المفاعل النووي . ويتجزء عن ذلك الغازات النادرة كالكريبتون والارغون والكريزينون ، كما هو مبين في الجدول (١) التالي :

هذا ويمكن استخدام هذه الطريقة مثلاً في تصنيف المواد القلوية الأرضية وطريقة الانشطار النووي في مزج نواتج الانشطار (مثل ^{133}Xe و ^{85}Kr) مع الأجسام الصلبة .

الجدول (١) : تفاعلات النيوترون المنشط النووي (α , n, p) التي تؤدي إلى انتاج الغاز الخامل (النادر) .

| | n,p | | n, α |
|----|--|----|---|
| Li | He ⁶ | Be | He ⁶ |
| Na | Ne ²³ | Mg | Ne ²³ |
| K | Ar ³⁹ 260a Ar ⁴¹ 1,8h | Ca | Ar ³⁷ 34,3d Ar ⁴¹ 1,8h |
| Rb | Kr ^{85m} 4,4h Kr ⁸⁷ 73m | Sr | Kr ^{85m} 4,4h |
| Cs | Xe ^{133m} 2,3d Xe ¹³³ 5,3d | Ba | Xe ¹³⁵ 9,2h Xe ¹³³ 5,3d |
| Fr | | Ra | |

٢ - زرع أيونات الغاز الخامل المسرعة :

وتكون النتيجة تصنيفياً سطحياً أو حجمياً للجسم المدروس ، وهذا يعتمد على طاقة الأيون المبذول ونوع الغاز النادر المستخدم .

٣ - طريقة الانتشار عند درجة عالية من الضغط ودرجة الحرارة في جو من الغاز النادر :

ويستخدم غالباً عنصر(^{85}Kr) لهذا الغرض حيث يدخل في الشبكة البللورية للجسم . هذا وقد استعمل اكثر من مئي عنصر صلب ، أو خلائط أو مركبات عضوية وغير عضوية مع الكربونات عند درجة حرارة منشط وضغط كريستوني منشط .

٤ - ترسب أو تبلور جسم صلب من جسم آخر منصهر في جو من غاز نادر :

ويستخدم هذين التكتيكيين بصورة اساسية لتحضير الأجسام الصلبة التي تكون الأجسام الرضيختية الحاوية على الغازات النادرة مثل الكوينون ، والهيدروكوبينون ، وبيتانافتول ... الخ ... ويوضح الشكل (١) رسماً تخطيطياً لجزئية الهيدروكوبينون المصنفة بعنصر(^{85}Kr) المشع .

وتعطي جميع هذه الطرق التقنية للاجسام الصلبة المصنفة بالغازات النادرة المشعة ، نواتجاً يكون فيها الغاز النادر المدمج أقل أو اكثر استقراراً ، حيث تتركز ذرات هذا الغاز في أماكن تبديلية أو فيها بين البلورات . وتعتمد طريقة التصنيف هذه على صفات الجسم الصلب وعلى القياسات النهائية المتالية لتحرر الغاز النادر .

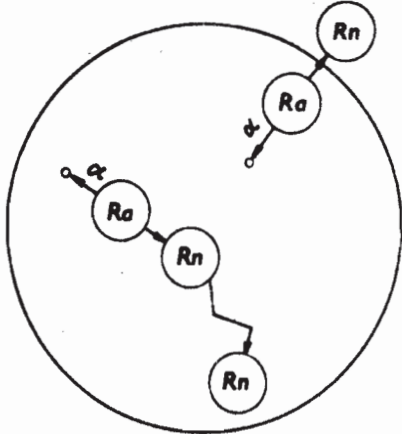


Figure 2 The recoil and diffusion process of inert gas release from a spherical grain .

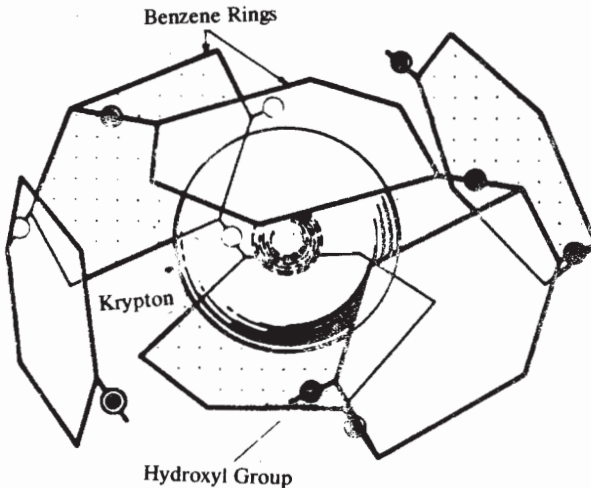


Figure 1 Scheme of ^{85}Kr - labeled hydroquinone .

تحرر الغاز النادر من الاجسام الصلبة :

يتحرر الغاز النادر من صلب كتبيجة لتفاعل كيميائي أو تحول فизيائي أو تقطيع الحالة البلورية أو انتشار الغاز النادر ، وتفسخ (أو اضمحلال) ذرات ذلك الغاز . وعند عدم حدوث تفاعل كيميائي أو تحول فизيائي في الجسم الصلب ، فإنه يجب أولاً تحليل تحرر الغاز النادر من تلك الاجسام عند درجات الحرارة المطلوبة .

هذا ويعتمد تحرر الغاز على نوع التقنية المستخدمة في تصنيف العينة ، أي فيما إذا كان الغاز النادر نفسه (أو أصله) قد أدخل في الجسم الصلب وعلى توزع هذا الغاز أو نوبات أصله .

إذا تكون الغاز النادر بالتفكك الاشعاعي لنوبات أصله ضمن الصلب وفقاً لطريقة (ETA) ، تحررت ذرات هذا الغاز من الصلب بأحدى الطرق التالية (راجع الشكل ٢) . وعندما تتوضع ذرات العنصر الأهل قريبة من سطح حبيبات المادة الصلبة ، فإن طاقة الارتداد (في حدود 100 kJ/mol) - والتي تكتسبها ذرات الغاز النادر خلال تفكك العنصر الأهل - يمكن أن تكون كافية لقذفها من المادة الصلبة كما يمكن أن تتحرر بواسطة الانتشار حتى ما قبل التفكك .

ووفقاً لنظريات طرق الارتداد والانتشار^(٢) ، يعطي معدل تحرر الغاز النادر وفقاً للمعادلة التالية :

$$E = E_r + E_d = \left(\frac{r_0}{4} \right) \left(\frac{S}{M} \right) \rho + \left(\frac{D}{\lambda} \right)^{\frac{1}{2}} \cdot \left(\frac{S}{M} \right) \rho \\ = \left[\frac{r_0}{4} + \sqrt{\frac{D}{\lambda}} \right] \cdot \left(\frac{S}{M} \right) \rho \dots \dots \quad (1)$$

حيث E_r = طاقة التحرر الانبعاثي نتيجة الارتداد .

E_d = طاقة الانتشار للذرات الغاز المنبعث .

r_0 = مدى الذرات المرتبطة .

S = مساحة السطح ، M = كتلة الحبيبات ، ρ = الكثافة

λ = ثابت التفكك الانبعاثي .

هذا ولا يعتمد العامل (E_r) على درجة الحرارة ، وقيمتها عند درجة حرارة الغرفة اكبر من قيمة (E_d) بالنسبة للاجسام الصلبة التي يكون فيها معامل انصهار الغاز النادر صغيراً . وترتفع قيمة (E_d) عند درجة حرارة منشطة نظراً لأن العامل (D) في المعادلة (1) تعطي بالعلاقة التالية :

$$D = D_0 \exp \left(-\frac{\Delta H}{RT} \right) \dots \dots \quad (2)$$

حيث D_0 = الحد ما قبل العامل الاسي (ثابت) .

ΔH = مقدار التنشيط الحراري لانشمار الغاز الثقيل في الجسم الصلب .

R = ثابت الغاز العالمي . و (T) درجة الحرارة المطلقة .

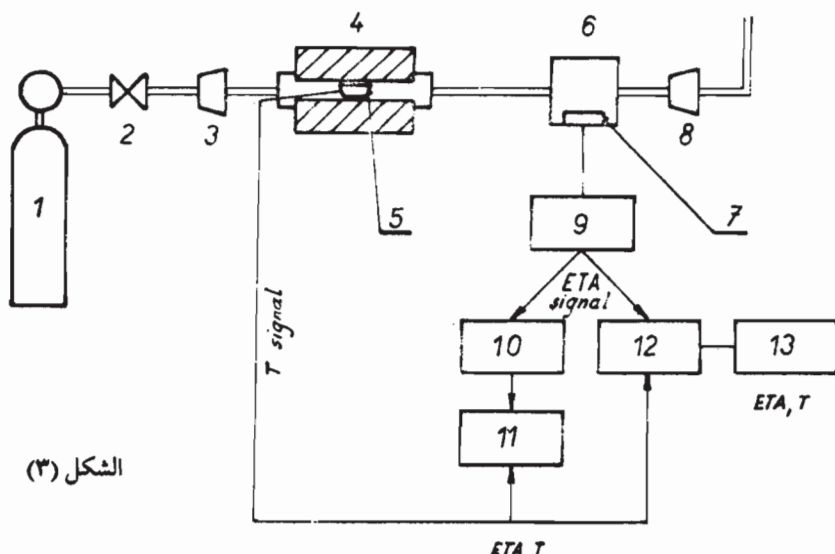
كما ويمكن حساب قيمة (E_d) بدلالة (E) الكلية ، وقيمة (E_r) التي نحصل عليها قياسياً وعند درجة حرارة منخفضة ، أي أن $(E_d = E - E_r)$.

وعند دمج الغاز النادر المشع في صلب بدون نويات أصله (أهله) ، يتحرر الغاز بطرق انتشار عديدة تعتمد على ميكانيكية الطرق المستخدمة ، ولقد فرضت عدة معادلات لهذه الطرق (١ ، ٣) .

وتطبق كافة الاعتبارات النظرية بشرط عدم حصول كيميائي أو فيزيائي في المادة الصلبة خلال المعالجة الحرارية . وعلى كل حال ، إذا حصل تغير في التركيب أو سطح المادة الصلبة فإنه سيحدث انقطاع في منحن (ETA) .

قياس مقدار تحرر الغاز النادر :

من الممكن عموماً قياس إما قيمة النشاط الاشعاعي للغاز المتبقى في الصلب ، أو كمية الغاز المتحرر منه وذلك باستخدام جهاز خاص لذلك . ويتألف جهاز (ETA) من عدة أجزاء تحقق الكشف عن الغاز النادر ، كمكان مثلاً لتسخين العينة وللسليطة على درجة الحرارة وقياسها ، ومن اسطوانة غاز مزودة بنظام لقياس التدفق الغازي ومن باراميترات قياس متكاملة . هذا وبين الشكل (٣) رسمياً توضيحياً لجهاز التحرر الانبعاثي (ETA) . ينقل الغاز النادر المتحرر من العينة عبر ناقل - (الهواء والازوت ... الخ ...) من وعاء التفاعل (ضمن الفرن) - إلى داخل حجرة قياس الفاعلية أو النشاط . ويمكن استخدام حجرة تأينية خاصة لقياس نشاط جزيئات ألفا أو بعداد الومضان أو بكاشف نصف ناقل متصل بعداد لقياس معدل العد . وتحجرى كافة قياسات نشاط جزيئات بيتا من العناصر (Xe , Kr) و (Ar) المشعة بعداد جيجر - ميلر (M — G) في حين تقامس الغازات ذات اشعاع جاما بعداد جاما الطيفي .



الشكل (٣)

Figure 3 Scheme of ETA apparatus . 1) carrier gas supply, 2) flow stabilizer, 3) flow meter, 4) furnace, 5) labeled sample, 6) measuring chamber, 7) radioactivity detector of inert gas, 8) flow meter, 10) digital millivolt - meter, 13) punch tape printer.

ولضمان شروط مقارنة مباشرة مثالية لنتائج طريقة (ETA) مع القيم الناتجة بطرق التحليل الحرارية الأخرى ، صممت أجهزة قياس متكافئة لتعطي قياسات متالية . ويبين الشكل (٤) رسماً توضيحياً لوعاء التفاعل للمقياس في ETA و DTA و مقياس التمدد الحراري المتالي^(٤) . هذا ولقد طورت مؤسسة (Netzch) جهازاً تجاريأً خاصاً يعمل أوتوماتيكياً للحصول على نتائج من (DTG/ TG و DTA و ETA) .

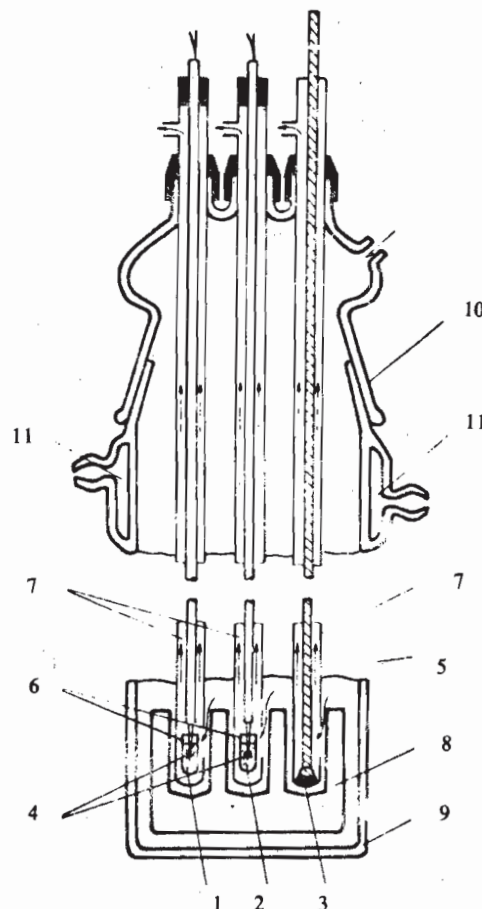


Figure 4 Reaction vessel of simultaneous apparatus for ETA - DTA and dilatometry . 1) labeled sample , 2) DTA reference sample , 3) dilatometer sample , 4) composite thermocouples , 5) quartz dilatometer , 6) quartz vessels , 7) supporting pipes , 8) metal block , 9) quartz outer vessel , 10) ground glass joint , 11) coolant tube .

الأمان الأشعاعي لقياسات (ETA)

تواجدت - خلال السنوات التي استخدمت فيها طريقة (ETA) - بعض الأسئلة عن الآثار البيولوجية للغازات النادرة المشعة المستعملة في تصنيف الأجسام الصلبة . ووجد

من الناحية الأمنية ، أنه من الضروري اجراء تصنيف ضمن مختبر مجهز بشكل خاص لذلك ومرخص للعمل بالنظائر المشعة . هذا ويمكن تركيب أجهزة(ETA) في أي مختبر كيميائي أو فيزيائي شريطة أن يجهز بمنفذ خاص لتصريف الغازات . ونظرًا للدقة أجهزة(ETA) الميكرونية ، فإن كمية المادة المستخدمة للفياس تكون عادة صغيرة وفي حدود (١٠ - ١٠٠ مغ) . أضعف إلى ذلك ، لا تمثل الغازات النادرة المشعة خطراً بيولوجياً بعد مزجها (أي تخفيف تركيزها بغازات أخرى غير مشعة .

التطبيقات :

كما هو واضح من المعادلة^(١) ، إن التغير في معدل تحرر الغاز من الجسم الصلب يعكس بصورة غير مباشرة الطرق المتعلقة بالتغيرات في مقدار السطح أو شروط انتشار الغاز النادر من السطح . ويشمل هذا تفاعل الأجسام الصلبة المتنوعة ، التفكك الحراري ، التعديل الانتقالي ، تحول مركبات لا بلورية إلى مركبات بلورية ، والتغير في تنظيم البلورات وتركيز التشوه البلوري للجسم الصلب ، وتلبيد(Sintering) وقدم المرسبات ... الخ ... كما تعطي(ETA) معلومات قيمة عن المادة الصلبة والتغيرات التي من الصعب الحصول عليها بطرق أخرى . والتطبيقات الممكنة هي في مجال كيمياء الجسم الصلب ، وعلوم السيراميك والخزف ، والتعدين ، والبلور ، العلوم الجيولوجية ، التحفز وفي الكيمياء التحليلية .

١- التطبيقات في مجال كيمياء الجسم الصلب :

إن التغيرات في تركيب وتحولات شكل المادة الصلبة - كما في تفاعل الغاز مع جامد أو سائل مع جامد أو تفاعل جامد مع جامد - تكون عادة مصحوبة بتغير انتشار ذرات الغاز النادر . وبين الشكل (٥) منحنيات ETA لترات البوتاسيوم خلال التسخين ، وذلك باستخدام طريقتين من طرق تصنيف العينات . ففي مدى درجات الحرارة (١٢٨ - ١٣٠ °) تظهر تحولات من النظام المعين إلى الشكل المنشوري السادس ، مصحوبة بارتفاع ناتيء في منحنيات ETA المذكورة . وقبل حدوث أي تحول كيميائي أو تحول في التركيب البلوي ، فإن معدل انطلاق الغاز يتناسب مع مستوى الانتشار الثابت في الشكل البلوري والارتفاع المستمر مع ارتفاع درجة الحرارة وفقاً للقانون الأسوي المذكور في المعادلة السابقة (١ ، ٢) . ويظهر التحول المتعدد الأشكال والتفاعل الكيميائي في المادة الصلبة ، بالتغيير المحدد في معدل تحرر أو انطلاق الغاز . وعند استعمال التصنيف السطحي ، يتناصف الارتفاع الناتيء

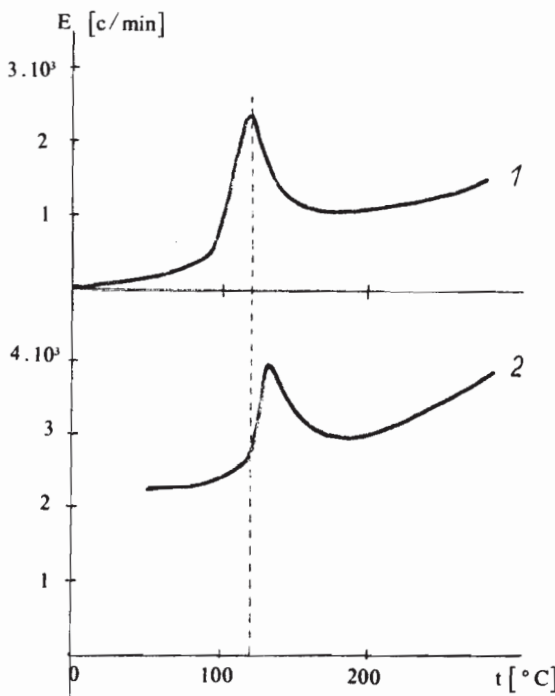


Figure 5 ETA heating curves of KNO_3 in the region of polymorphic transition . Curve 1 . sample surface labeled by ^{85}Kr ion bombardment , curve 2 . sample volume labeled by ^{228}Th during crystallization of the salt .

في منحنى ETA (المنحنى ١ من الشكل ٥) وعند درجة الحرارة (١٢٠°) مع درجة الحرارة عند تكون شبكة بلورية جديدة على سطح المادة الصلبة . وعند فرض توزع متجانس للغاز النادر في العينة ، فإن اخفض نقطة في المنحنى (الشكل ٢) تتناسب مع الحالة الأولى للتحول ، في حين تتناسب أعلى نقطة في المنحنى هذا مع درجة الحرارة حيث تتكون شبكة بلورية لكامل السطح .

ولقد استعملت طريقة(ETA) بنجاح في دراسة الحث الحراري في الزجاج وبودرة الاشكال البلورية الغير منتظمة ، حيث لا تعطي عينات تقطيط الاشعة السينية نتائج مرضية ، وحيث لا يمكن تطبيق طرق التحليل الحراري الأخرى .

إن تفاعلات المواد الصلبة بين (O_{n} و O_{d}) في آن واحد مع (ETA) و(DTA) والتمدد الحراري (راجع الشكل ٦) ، تصنف (O_{n}) بالنظر المشع (^{228}Th) . ويظهر أول تفاعل بطريقة(ETA) بين درجتي حرارة (٤٠٠ - ٢٥٠°) لطبقات سطح الاوكسيد ، في حين لا تبدي منحنيات طريقة(DTA) والتمدد الحراري أي تغير عند درجات الحرارة هذه . وشوهد التغير السريع في معدل تحرر الغاز بطريقه(DTA) وقياس التمدد الحراري متناسباً مع

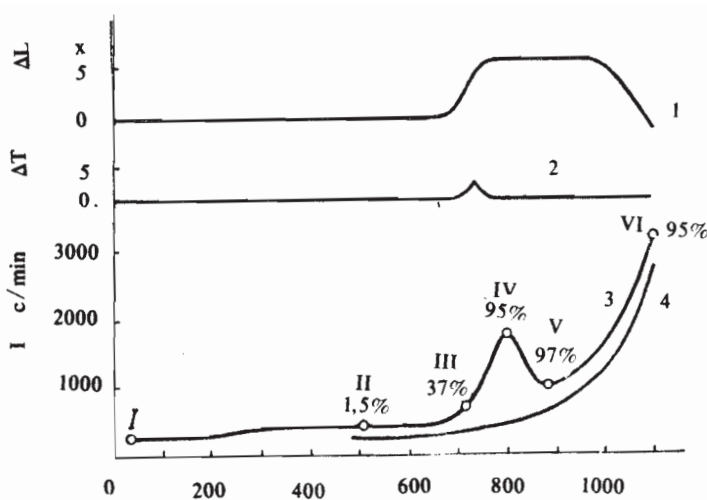


figure 6 ETA (curve 3) , DTA (curve 2) and dilatometry (curve 1) of $ZnO - Fe_2O_3$ mixture when heated at $10 Kmin^{-1}$ rate . The ETA curve of the mixture during reheating after it was heated to $1100^\circ C$ and cooled to $400^\circ C$ is shown by curve 4 . ZnO component was labeled by ^{228}Th . Percentage ZnO taking part in the reaction is shown for samples . I - VI .

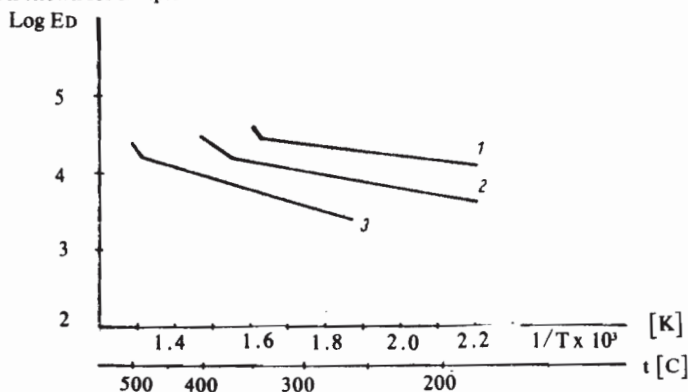


figure 7 plot log ED vs $1/T$ for ferric oxide (ex - hydroxide) obtained during cooling samples preheated to $350^\circ C$ (curve 1) , $410^\circ C$ (curve 2) , and $530^\circ C$ (curve 3) .

التفاعل الحجمي ، وفي مدى درجات الحرارة ($670^\circ - 700^\circ$) . كما يشير الانخفاض الملاحظ في منحنى (ETA) عند (790°) ، إلى انتهاء التفاعل وتشكل شبكة بلورية جديدة . ويبدل الشكل الأسني لمنحنى (ETA) للمزيج ($Fe_2O_3 - ZnO$) خلال مراحل التسخين المتكرر (المنحنى ٤ - الشكل ٦) ، على انتهاء التفاعل في مجال التسخين الأول . ويمكن استخدام هذا المنحنى في تقييم مميزات الانتشار لمركب فورمات الزنك المتشكل .

واختيرت درجة الحرارة ذات التأثير الواضح في منحنى (ETA) كمعامل لاختبار فاعلية اكسيد الفيريك المستخدم لانتاج الفيرات^(٨) . ويوضح الجدول (٢) مميزات الفاعلية لهذا الاكسيد المحضر بواسطة التفكك الحراري للكربونات الحديد (III) عند 700° (I) ، و 900° (II) .

(II) و 1100° (III) ، وإلى ثلاثة أنواع من أكسيد الحديد التجاري . وبمقارنة نتائج (ETA) مع قيم مساحة السطح - المستخدمة عموماً لتمييز الفاعلية - يمكننا أن نرى أن عينات أكسيد الحديد (ex—carbonate) تفقد فاعليتها بانخفاض مساحة السطح . ولا توجد - في العينات التجارية - علاقة بين الفاعلية المنشقة من (ETA) وقيم مساحة السطح ، في حين توضح نتائج (DF) نسبياً النشاط الأعظم رغم صغر مساحة السطح . غير أن طريقة (ETA) أكثر واقعية من الطرق العامة المستخدمة ، إذ تعطي صورة حقيقة عن الفاعلية بالنسبة لتفاعل المواد الصلبة .

الجدول (٢) : اوصاف النشاط (الفاعلية) لعينات أكسيد الحديد

| العينات التجارية A.G PPG D.F. | Ex — Carbonate ($Fe_2 O_3$) المسخنة إلى درجة الحرارة $1100^{\circ} 900^{\circ} 700^{\circ}$ | | | العنصر مساحة السطح (m^2/g) قمة المحنى ETA عند درجة الحرارة ($^{\circ}C$) | |
|----------------------------------|---|------|-----|---|-----|
| | ٧,٨ | ١٤,٨ | ٣,٨ | | |
| ٩٢٠ | ٨٨٠ | ٧٢٠ | ٠,٣ | ٠,٩ | ٥,٩ |
| | | | ٩٨٠ | ٩٢٥ | ٧٩٠ |

التطبيقات في علم الخزف والمواد الأخرى :

تعتبر قابلية تحرك ذرات الغاز (النادر) ، عاملاً مناسباً لوصف حالة الجسم الصلب وتحولاته^(١) . وعموماً يمكن القول بأنه يمكن تحديد تلك القابلية بواسطة ميكانيكية الانتشار في الجسم الصلب ، إذ تتعلق بالتغيير في صفات ذلك الجسم .

ويوضح الشكل (٧) منحنيات ETA لمركب ($Fe_2 O_3$ — α) المحضر بتسخين هيدروكسيد الحديد III إلى الدرجة ($350^{\circ}, 410^{\circ}, 530^{\circ}$) . ونتجت هذه المنحنيات بعد عمليات التسخين المباشر والتبريد المتالي للعينات وعند معدل خطى ($2,5$) كلفن / دقيقة . وتمثل هذه المنحنيات^(١) العلاقة بين $Log(D)$ و $\frac{1}{T}$ في مدى درجة الحرارة ($250^{\circ} - 400^{\circ}$) . وبما أن انتشار الغاز النادر في الأكسيد الحديدي في هذا المدى مقيد بتشوهات في البنية (مثلاً حدود الجسيمات ، الازاحة الوضعية وبعض التشوهات الأخرى الغير متتظمة) ، فإنه يمكن استعمال التنشيط الحراري (ΔH) لانتشار الغاز ، كعامل مميز دقيق لتوزيع وانتشار المواد . وتقدر قيم (ΔH) بـ [٥٥، ٣٥، ٢٥] كيلوجول / مول للعينات المسخنة إلى الدرجة ($350^{\circ}, 410^{\circ}, 530^{\circ}$) على الترتيب . ويتناسب منحنى (ETA) مع

توزيع العينات (للسنج الاكثر تطوراً) بشكل اكثـر من تلك للعينات ذات النسج الأقل . علـما ان كلـتا الحالـتين متوافقـتان بشـكل مـتبادل . هذه المـيزة حـالة الفـاعـلـية لـلاـكاـسيـدـ الـحـديـدـيةـ (بـودـريـةـ الشـكـلـ) ، كانتـ على درـجةـ عـالـيـةـ منـ التـفـضـيلـ فيـ المـختـبرـاتـ الصـنـاعـيـةـ وـذـلـكـ لـاـخـتـبارـ الـاصـبـاغـ الـغـيرـ عـضـوـيـةـ ، وـالـمـوـادـ الـأـوـلـيـةـ لـاـنتـاجـ الـفـيـرـاتـ وـالـمـوـادـ الـحـفـازـةـ (الـمسـاعـدـةـ) ... الخ ...

وكـمثالـ آخـرـ عـلـىـ تـطـبـيقـ طـرـيـقـةـ (ETA)ـ فـيـ مـجالـ الـخـزـفـ ،ـ اـخـتـبارـ قـابـلـيـةـ التـبـخـرـ .ـ وـكـمـاـ هوـ مـبـينـ فـيـ الـمـعـادـلـةـ (1)ـ بـعـضـ النـظـرـ عـنـ التـغـيـرـاتـ فـيـ صـفـاتـ الـاـنـتـشـارـ .ـ تـعـكـسـ طـرـيـقـةـ (ETA)ـ بـشـكـلـ جـيـدـ أيـ تـغـيـرـ فـيـ مـسـاحـةـ السـطـحـ ،ـ الـأـمـرـ الـذـيـ أـدـىـ إـلـىـ اـسـتـخـدـامـهـ بـنـجـاحـ فـيـ الـكـشـفـ عـنـ تـلـبـدـ الـخـزـفـ وـبـوـدـرـاتـ الـمـوـادـ الـمـعـدـنـيـةـ (1)ـ .ـ كـمـاـ يـمـكـنـ تـطـبـيقـ هـذـهـ طـرـيـقـةـ أـيـضـاـ فـيـ ظـرـوفـ مـتـسـاوـيـةـ أـوـ غـيرـ مـتـسـاوـيـةـ حـرـارـيـةـ ،ـ نـظـرـاـ لـأـنـهـ يـمـكـنـ تـبـعـ تـغـيـرـاتـ السـطـحـ بـاـنـتـظـامـ فـيـ الـأـطـوـارـ الـدـيـنـامـيـكـيـةـ لـلـتـجـرـبـةـ وـفـيـ الـوـسـطـ الـغـازـيـ الـمـطـلـوبـ .ـ

دراسة التآكل (التاكسد)

يمـكـنـ استـخـدـامـ الغـازـاتـ النـادـرـةـ الـمـشـعـةـ فـيـ درـاسـةـ طـرـقـ التـاـكـسـدـ الـتـيـ تـسـبـبـ تـغـيـرـاتـ فـيـ السـطـحـ ،ـ اوـ تـخـرـيـباـ لـلـمـعدـنـ المـدـرـوسـ .ـ وـتـعـتمـدـ تقـنـيـةـ الـكـشـفـ عـنـ تـآـكـلـ الـجـسـمـ الـصـلـبـةـ بـالـسـوـاـئـلـ وـالـغـازـاتـ ،ـ عـلـىـ قـيـاسـ مـقـدـارـ فـقـدانـ (أـوـ ضـيـاعـ)ـ عـنـصـرـ (Kr⁸⁵)ـ فـيـ الـمـعدـنـ الـمـصـنـفـ بـعـدـ تـعـرـضـهـ لـلـوـسـطـ الـمـؤـكـسـدـ .ـ إـذـ تـفـيدـ هـذـهـ التـقـنـيـةـ فـيـ التـحـدـيدـ السـرـيعـ لـمـعـدـلـ التـآـكـلـ الـبـطـيـءـ جـداـ .ـ وـالـطـرـقـ الـدـوـرـيـةـ الـمـسـتـخـدـمـةـ لـتـقـدـيرـ الـعـوـافـمـ ضـدـ التـآـكـلـ أـوـ الـعـوـافـمـ الـواـقـيـةـ هـيـ عـومـاـ .ـ غـيرـ مـوـثـوقـ بـهـاـ ،ـ إـذـ اـنـهاـ تـخـتـاجـ فـيـ عـدـدـ مـنـ الـحـالـاتـ إـلـىـ طـرـقـ أـخـرىـ مـتـمـمـةـ .ـ لـذـاـ فـانـ اـسـتـخـدـامـ (ETA)ـ فـيـ تـصـنـيـفـ الـعـيـنـاتـ بـوـاسـطـةـ (Kr⁸⁵)ـ ،ـ تـمـكـنـ الـبـاحـثـ مـنـ تـفـيـذـ طـرـقـ الـكـشـفـ بـشـكـلـ مـبـسـطـ وـمـعـقـولـ .ـ وـيمـكـنـ كـشـفـ التـآـكـلـ الـغـيرـ مـحـسـوسـ (بـالـعـيـنـ الـمـجـرـدةـ)ـ بـهـذـهـ طـرـيـقـةـ غـضـونـ سـاعـاتـ قـلـائلـ .ـ

وـنظـرـاـ لـأـنـ الـمـوـادـ الـصـلـبـةـ الـمـسـتـخـدـمـ فـيـهاـ عـنـصـرـ الـكـرـيـتـيـونـ ،ـ يـمـكـنـ ثـبـيـتـهـ لـلـاستـعـمالـ عـنـ درـجـاتـ حرـارـةـ مـنـشـطـةـ وـحتـىـ نـقـطـةـ نـوـبـانـ الـمـاعـدـنـ ،ـ لـذـاـ إـنـ يـمـكـنـ تـطـبـيقـ تـلـكـ طـرـيـقـةـ أـيـضـاـ فـيـ درـاسـةـ الـحرـارـةـ الـمـؤـكـسـدـةـ لـاـدـوـاتـ الـمـصـانـعـ .ـ

- الـمـوـادـ الـغـيرـ عـضـوـيـةـ :

تحـدـدـ خـاصـيـةـ اـنـتـشـارـ بـعـضـ الـمـوـادـ الـعـضـوـيـةـ وـالـبـوليـمـرـ ،ـ وـفقـاـ لـمـبـداـ اـنـتـشـارـ الغـازـ النـادـرـ .ـ وـاظـهـرـتـ خـاصـيـةـ اـنـتـشـارـ اـمـلـاحـ الـبـارـيـومـ لـحـمـضـ الـفـتـالـيـكـ -ـ الـمـتـسـاوـيـ وـحـمـضـ الـفـتـالـيـكـ الـثـلـاثـيـ .ـ

المضاعف المحدد بطريقة (ETA) - اختلافات في تركيب جزيئات الصلب الظاهرية التي تبين تجازف الموضع (٨ - ٩) . وبناء عليه فقد تم وصف ارتفاع معدل تحرر الغاز تدريجياً للحباريوم ذو السلسلة الطويلة للهالومونيوم الوحيدة الكربون .

تطبيقات في الكيمياء التحليلية :

إن الفرض الأساسي - في الكيمياء التحليلية - من استخدام الأجسام المصنفة بالغاز النادر المشع (عادة ^{85}Kr) ، هو تحطم الشبكة البلورية للجسم الصلب عند دخوله في تفاعل كيميائي مع تحرر الكربيتون المشع ، لهذا كان المهم تفاعل ذلك الجسم مع العينات المدروسة . وفي مجال التفاعل الكيميائي ، يجب أن يتاسب معدل تحرر عنصر الكربيتون المشع مع معدل التفاعل ، الذي يعتبر مقياساً لتركيب المركب المراد تحديده . ويمكن اجراء التحديد الكمي باستخدام منحنى عياري بالمقارنة مع منحنى قياسي او باستخدام جهاز معير بجهاز عيار قياسي مضبوط . . .

ولقد فرضت عدة طرق (١٠ ، ١١) لتحديد المركبات الغازية وأثار الشوائب في الهواء كالأوزون والاوكسجين و(NO_2 , NO , Cl , F , SO_2) ، الامينات ، والميدروجين . كما أن بعض تلك الطرق خصص لتحديد تلك المركبات في أجواء الكواكب الأخرى (مثلاً في مارس وفيenus) . وهي أيضاً على درجة كبيرة من الأهمية في تحديد المواد الملوثة في أماكن العمل الخطرة .

وكمثال على التحليل الغازي باستخدام عنصر (Kr) المشع ككافش ، دعنا نذكر قياس الهيدروجين بواسطة (PtO_2) الذي يدخل في تركيبة على (Kr) . والجهاز المخصص لذلك موضح في الشكل (٨) ، ومؤلف من وعاء تفاعل ^٢ يحوي على المركب (PtO_2) الداخلي فيه عنصر (Kr) ، وعدد جيجر (٤) متصل بالوعاء (١٢) . ويقاس معدل انخفاض نشاط عنصر (Kr) المشع في العينة المصنفة هذه وذلك بقياس معدل العد . هذا ويوضح الشكل (١٠) تأثير المركب (PtO_2) - المكربن - بالهيدروجين عند درجة حرارة الغرفة ، وفي جو من النيتروجين (١٠ ، ١٤) . ولقد طورت مختبرات الابحاث وتقني الأثر (باناميترك) ، نوعين من الاجهزة لتحديد الشوائب المؤكسدة والمرجعة في الجو وبتركيز يصل الى أجزاء قليلة من المليون .

ويمكن أيضاً انجاز التحديد في الحاليل بالإضافة الى التحليل الغازي باستخدام تصنيف الجسم الصلب بالغازات (النادرة) المشعة . فلتتحديد أثر الماء مثلاً في السوائل

العضوية ، يستخدم (CaC_2) الموجود فيه (Kr) كجسم صلب مصنف ، حيث تقادس الفاعلية لعنصر (^{85}Kr) المتحرر . فإذا كانت نسبة (H_2O) في الكحول الميتيلى هي (٢٥ - ٣٠٪) فإن فاعلية الكريبيتون (^{85}Kr) المتحرر تتناسب مع كمية الماء المستخدم . غير أن المشكلة التحليلية الصعبة هي تحديد الاوكسجين المنحل في الماء أو السوائل الأخرى . ومع ذلك يمكن استخدام عنصر الثاليلوم (^{111}Kr) المصنف بـ (^{85}Kr) ، غير أن هذا التحديد يعتمد على التفاعل التالي :



إن نقصان فاعلية الثاليلوم المصنف في الماء المقطر ، هو تغير خطى مع تركيز الاكسجين المنحل إلى أقل تركيز مقاس (٣،٥ جزء من المليون) . وهناك تطبيق خاص للاجسام الصلبة المصنفة بالغاز (النادر) المشع ، ويتم باستخدام المعايرات الراديومترية (القياسية الاشعاعية) (^{111}Kr) .

الملخص :

ما سبق نرى أن تطبيقات الغازات النادرة المشعة ، تقدم امكانيات جيدة في الكيمياء التحليلية وكيمياء الجسم الصلب . وتضمن القياسات التكنيكية العالية الحساسية ، التطبيق الواسع الانتشار لطرق التحليل الانبعاثي الحراري (ETA) الأمر الذي يفتح آمالاً مضيئة للمستقبل .

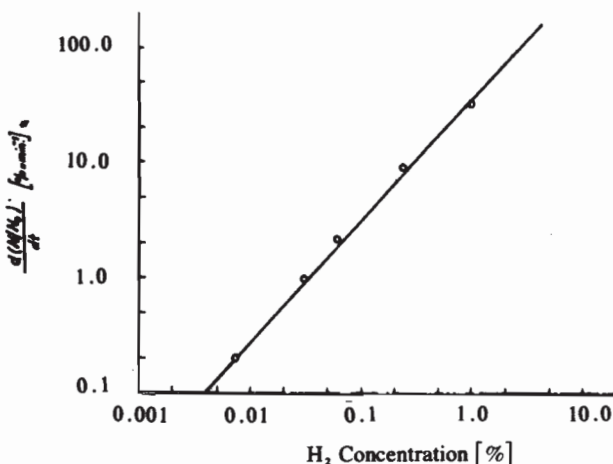


Figure 8 Response of PtO_2 (labeled by ^{85}Kr) to hydrogen at room temperature and nitrogen atmosphere.

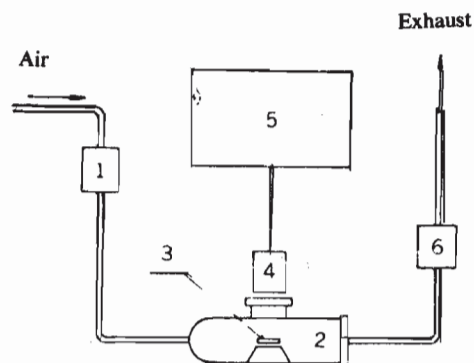


Figure 9 Apparatus for gas analysis using labeled solids: 1) metering valve, 2) reaction vessel, 3) inert gas-labeled 4) Geiger-Muller tube, 5) counts-rate meter, 6) flow

المراجع

- 1 — BALEK, V., «Emanation thermal analysis,» *Thermochim. Acta* 22, 1 (1977).
- 2 — FLUGGE, S. and ZIMENS, K.E.Z. *Physik. Chem. B* 42, 179 (1939).
- 3 — JECH, C. and KELLY, R.J. *Phys. Chem. Solids* 30, 465 (1969).
- 4 — BALEK, V., *J. Mat. Sci.* 4, 419 (1969).
- 5 — EMMERICH, W. D. and BALEK, V., *High Temp.-High Press.* 5, 67 (1973).
- 6 — BALEK, V. and ZABORENKO, K.B., *Russ. J. Inorg. Chem. (transl.)* 14, 464 (1969).
- 7 — BALEK, V., *J. Amer. Cer. Soc.* 53, 540 (1970).
- 8 — BALEK, V., *J. Appl. Chem. (London)* 20, 73 (1970).
- 9 — BALEK, V., KROUPA, J., and PRACHAR, M., *Radiochem. Radioanal. Lett.* 28, 279 (1977).
- 10 — CHLECK, D.L., *Symposium on Radiochemical Methods of Analysis, Paper SM-55/41, IAEA, Vienna, 1969.*
- 11 — TOLGYESSY, J. and VARGA, S., *Talanta* 17, 659 (1970).
- 12 — Internaternal J. Appl Radioisotapes. 14, 599 (1963).
- 13 — International J. American Ceramic Soc. 53, 540 (1970).
- 14 — *J. of material Sci* 4, 419 (1969).